

# MAT-269: Sesión 19, Método de Componentes Principales II

Felipe Osorio

[fosorios.mat.utfsm.cl](mailto:fosorios.mat.utfsm.cl)

Departamento de Matemática, UTFSM



## Objetivo:

Introduce un [modelo estadístico](#) para PCA que tiene una cercanía con el modelo de análisis factorial.

## Características:

- ▶ [Estimación máximo verosímil](#) de las PC (así como de sus errores estándar).
- ▶ Estimación puede ser llevada a cabo eficientemente via un [algoritmo EM](#).
- ▶ Permite usar la [maquinaria de modelamiento estadístico](#) para, por ejemplo, desarrollar test de hipótesis y aplicar métodos Bayesianos.



## Componentes principales probabilísticas

El método fue introducido independientemente por Roweis (1998) y Tipping y Bishop (1999), esencialmente aprovechando la relación con el modelo de [análisis factorial](#)

$$\mathbf{y} = \boldsymbol{\mu} + \mathbf{W}\mathbf{x} + \boldsymbol{\epsilon},$$

donde  $\mathbf{W} \in \mathbb{R}^{p \times q}$  permite relacionar los dos conjuntos de variables. Asumiremos que

$$\mathbf{x} \sim N_q(\mathbf{0}, \mathbf{I}), \quad \boldsymbol{\epsilon} \sim N_p(\mathbf{0}, \phi \mathbf{I}).$$

Esto lleva al modelo marginal,

$$\mathbf{y} \sim N_p(\boldsymbol{\mu}, \mathbf{W}\mathbf{W}^\top + \phi \mathbf{I}). \quad (1)$$

*Observación:*

PCA es un [caso límite](#) del modelo en (1) tomando  $\lim_{\phi \rightarrow 0} \phi \mathbf{I}$ .



# Componentes principales probabilísticas

Las **PCA probabilísticas (PPCA)** consideran el modelo

$$\mathbf{y}_i | \mathbf{x}_i \stackrel{\text{ind}}{\sim} N_p(\boldsymbol{\mu} + \mathbf{W}\mathbf{x}_i, \phi\mathbf{I}), \quad \mathbf{x}_i \stackrel{\text{ind}}{\sim} N_q(\mathbf{0}, \mathbf{I}),$$

para  $i = 1, \dots, n$ . Lo que lleva al modelo

$$\mathbf{y}_i \stackrel{\text{ind}}{\sim} N_p(\boldsymbol{\mu}, \boldsymbol{\Sigma}), \quad \boldsymbol{\Sigma} = \mathbf{W}\mathbf{W}^\top + \phi\mathbf{I},$$

con función de log-verosimilitud

$$\ell(\boldsymbol{\theta}) = -\frac{np}{2} \log 2\pi - \frac{n}{2} \log |\boldsymbol{\Sigma}| - \frac{n}{2} \text{tr} \boldsymbol{\Sigma}^{-1} \mathbf{S}(\boldsymbol{\mu}),$$

donde  $\boldsymbol{\theta} = (\boldsymbol{\mu}^\top, \text{vec}^\top \mathbf{W}, \phi)^\top$ , con

$$\mathbf{S}(\boldsymbol{\mu}) = \frac{1}{n} \sum_{i=1}^n (\mathbf{y}_i - \boldsymbol{\mu})(\mathbf{y}_i - \boldsymbol{\mu})^\top.$$



El MLE de  $\boldsymbol{\mu}$  en PPCA es dado por  $\bar{\mathbf{y}}$ , en cuyo caso  $\mathbf{S} = \mathbf{S}(\hat{\boldsymbol{\mu}})$  es la matriz de covarianza muestral de  $\mathbf{y}_1, \dots, \mathbf{y}_n$ .

Estimaciones de  $\mathbf{W}$  y  $\phi$  pueden ser obtenidos iterativamente usando un algoritmo EM (Rubin y Thayer, 1982).

Además,

$$\mathbf{x}_i | \mathbf{y}_i \stackrel{\text{ind}}{\sim} N_q(\mathbf{M}^{-1} \mathbf{W}^\top (\mathbf{y}_i - \boldsymbol{\mu}), \phi \mathbf{M}^{-1}), \quad i = 1, \dots, n,$$

con  $\mathbf{M} = \mathbf{W}^\top \mathbf{W} + \phi \mathbf{I}$ .



## Algoritmo EM para PPCA

Asumiremos que  $\mathbf{x}_1, \dots, \mathbf{x}_n$  son **no observables (missing)**. De este modo, la función de **log-verosimilitud de datos completos** adopta la forma:

$$\ell_c(\boldsymbol{\theta}; \mathbf{y}, \mathbf{x}) = -\frac{np}{2} \log 2\pi\phi - \frac{1}{2\phi} \sum_{i=1}^n \|\mathbf{y}_i - \boldsymbol{\mu} - \mathbf{W}\mathbf{x}_i\|^2 - \frac{nq}{2} \log 2\pi - \frac{1}{2} \sum_{i=1}^n \|\mathbf{x}_i\|^2.$$

En la **etapa E** del algoritmo debemos calcular (desconsiderando términos que no involucran  $\boldsymbol{\theta}$ )

$$Q(\boldsymbol{\theta}|\boldsymbol{\theta}^{(k)}) = -\frac{np}{2} \log \phi - \frac{1}{2\phi} \sum_{i=1}^n \mathbb{E} [\|\mathbf{y}_i - \boldsymbol{\mu} - \mathbf{W}\mathbf{x}_i\|^2 | \mathbf{y}_i, \boldsymbol{\theta}^{(k)}].$$

Sea,

$$\mathbf{x}_i^{(k)} = \mathbb{E}[\mathbf{x}_i | \mathbf{y}_i, \boldsymbol{\theta}^{(k)}] = [\mathbf{M}^{(k)}]^{-1} \mathbf{W}^{(k)\top} (\mathbf{y}_i - \boldsymbol{\mu}^{(k)}),$$

esto permite escribir

$$Q(\boldsymbol{\theta}|\boldsymbol{\theta}^{(k)}) = -\frac{np}{2} \log \phi - \frac{n\phi^{(k)}}{2\phi} \text{tr}[\mathbf{M}^{(k)}]^{-1} \mathbf{W}^\top \mathbf{W} - \frac{1}{2\phi} \sum_{i=1}^n \|\mathbf{y}_i - \boldsymbol{\mu} - \mathbf{W}\mathbf{x}_i^{(k)}\|^2.$$



## Algoritmo EM para PPCA

Substituyendo  $\boldsymbol{\mu}^{(k)}$  por  $\bar{\mathbf{y}}$  sigue que

$$\mathbf{W}^{(k+1)} = \left\{ \sum_{i=1}^n (\mathbf{y}_i - \bar{\mathbf{y}}) \mathbf{x}_i^{(k)\top} \right\} \left( \sum_{i=1}^n \mathbf{x}_i^{(k)} \mathbf{x}_i^{(k)\top} \right)^{-1}$$
$$\phi^{(k+1)} = \frac{1}{np} \sum_{i=1}^n \|\mathbf{y}_i - \boldsymbol{\mu} - \mathbf{W}^{(k+1)} \mathbf{x}_i^{(k)}\|^2 + \frac{\phi^{(k)}}{p} \text{tr}[\mathbf{M}^{(k)}]^{-1} \mathbf{W}^{(k)\top} \mathbf{W}^{(k)}.$$

Usando la definición de  $\mathbf{x}_i^{(k)}$  (y de  $\text{Cov}(\mathbf{x}_i | \mathbf{y}_i, \boldsymbol{\theta})$ ), y haciendo  $\mathbf{W} = \mathbf{W}^{(k)}$ ,  $\phi = \phi^{(k)}$ , podemos reescribir la [etapa M](#) del algoritmo como:

$$\mathbf{W}^{(k+1)} = \mathbf{S} \mathbf{W} (\phi \mathbf{I} + \mathbf{M}^{-1} \mathbf{W}^\top \mathbf{S} \mathbf{W})^{-1}$$
$$\phi^{(k+1)} = \frac{1}{p} \text{tr}(\mathbf{S} - \mathbf{S} \mathbf{W} \mathbf{M}^{-1} \mathbf{W}^{(k)\top}),$$

donde

$$\mathbf{S} = \frac{1}{n} \sum_{i=1}^n (\mathbf{y}_i - \bar{\mathbf{y}}) (\mathbf{y}_i - \bar{\mathbf{y}})^\top.$$





Chen, T., Martin, E., Montague, G. (2009).

Robust probabilistic PCA with missing data and contribution analysis for outlier detection.  
*Computational Statistics and Data Analysis* **53**, 3706-3716.



Roweis, S. (1998).

EM algorithms for PCA and SPCA.

*Advances in Neural Information Processing Systems* 626-632.



Stacklies, W., Redestig, H., Scholz, M., Walther, D., Selbig, J. (2007).

pcaMethods - a Bioconductor package providing PCA methods for incomplete data.  
*Bioinformatics* **23**, 1164-1167.



Tipping, M.E., Bishop, C.M. (1999).

Probabilistic principal component analysis.

*Journal of the Royal Statistical Society, Series B* **61**, 611-622.



Tipping, M.E., Bishop, C.M. (1999).

Mixtures of probabilistic principal component analysers.

*Neural Computation* **11**, 443-482.





# PCA para datos de contaminación de aire

**Felipe Osorio**

[fosorios.mat.utfsm.cl](mailto:fosorios.mat.utfsm.cl)

Departamento de Matemática, UTFSM



## Datos de contaminación del aire

Contaminación del aire en 41 ciudades americanas, en donde se midió las siguientes variables:

- ▶ **SO<sub>2</sub>**: dióxido de azufre en el aire en microgramos por metro cúbico.
- ▶ **Temp**: temperatura anual media (°F).
- ▶ **Manuf**: Número de empresas manufactureras con más de 20 trabajadores.
- ▶ **Pop**: población en miles de habitantes (censo de 1970).
- ▶ **Wind**: velocidad del viento (en millas por hora).
- ▶ **Precip**: promedio de precipitaciones anual (en pulgadas).
- ▶ **Days**: promedio de días con precipitaciones por año.



## Conjunto de datos

```
> pollution
```

	S02	Neg.Temp	Manuf	Pop	Wind	Precip	Days
Phoenix	10	-70.3	213	582	6.0	7.05	36
Little Rock	13	-61.0	91	132	8.2	48.52	100
San Francisco	12	-56.7	453	716	8.7	20.66	67
Denver	17	-51.9	454	515	9.0	12.95	86
Hartford	56	-49.1	412	158	9.0	43.37	127
Wilmington	36	-54.0	80	80	9.0	40.25	114
Washington	29	-57.3	434	757	9.3	38.89	111
Jacksonville	14	-68.4	136	529	8.8	54.47	116
Miami	10	-75.5	207	335	9.0	59.80	128
Atlanta	24	-61.5	368	497	9.1	48.34	115
Chicago	110	-50.6	3344	3369	10.4	34.44	122
Indianapolis	28	-52.3	361	746	9.7	38.74	121
Des Moines	17	-49.0	104	201	11.2	30.85	103
Wichita	8	-56.6	125	277	12.7	30.58	82
...							
Charleston	31	-55.2	35	71	6.5	40.75	148
Milwaukee	16	-45.7	569	717	11.8	29.07	123



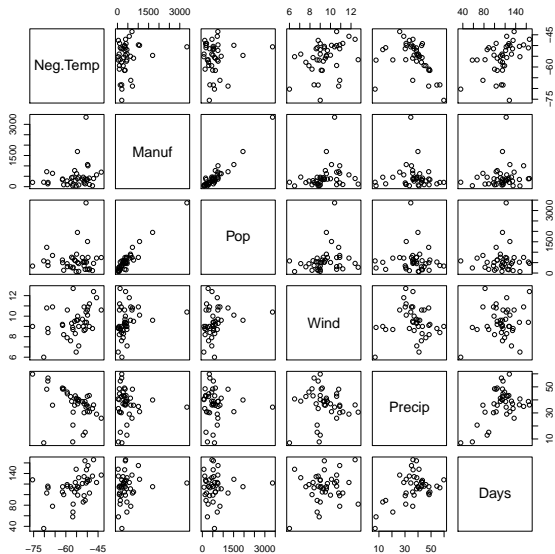
En los análisis siguientes ignoraremos **SO2**. Note además:

- ▶ **Pop, Manuf**: están relacionadas a la **ecología humana**.
- ▶ **Manuf**: Número de empresas manufactureras con más de 20 trabajadores.
- ▶ **Temp,Wind,Precip,Days**: están asociadas al clima.

Primeramente realizamos un análisis exploratorio de los datos mediante el comando **pairs**.



# Gráfico de dispersión multivariado



## Datos de contaminación del aire

Podemos apreciar que los datos tienen **muy diferentes escalas** de modo que, obtenemos las PC basados en la **matriz de correlación**. Considere:

```
> names(pollution)
[1] "SO2" "Neg.Temp" "Manuf" "Pop" "Wind" "Precip" "Days"

> db <- pollution[, -1]
> cor(db)
```

	Neg.Temp	Manuf	Pop	Wind	Precip	Days
Neg.Temp	1.0000	0.1900	0.0627	0.350	-0.3863	0.4302
Manuf	0.1900	1.0000	0.9553	0.238	-0.0324	0.1318
Pop	0.0627	0.9553	1.0000	0.213	-0.0261	0.0421
Wind	0.3497	0.2379	0.2126	1.000	-0.0130	0.1641
Precip	-0.3863	-0.0324	-0.0261	-0.013	1.0000	0.4961
Days	0.4302	0.1318	0.0421	0.164	0.4961	1.0000



## Datos de contaminación del aire

Podemos apreciar que los datos tienen **muy diferentes escalas** de modo que, obtenemos las PC basados en la **matriz de correlación**. Considere:

```
> pc <- princomp(db, cor = TRUE)
> summary(pc)
Importance of components:

                Comp.1      Comp.2      Comp.3
Standard deviation  1.4819456  1.2247218  1.1809526
Proportion of Variance 0.3660271 0.2499906 0.2324415
Cumulative Proportion 0.3660271 0.6160177 0.8484592

                Comp.4      Comp.5      Comp.6
Standard deviation  0.8719099  0.3384829  0.1855998
Proportion of Variance 0.1267045 0.0190951 0.0057412
Cumulative Proportion 0.9751637 0.9942588 1.0000000
```



En efecto, note que

```
> R <- cor(db)
> rs <- eigen(R)
> prop <- rs$values / sum(rs$values)

> sqrt(rs$values) # standard deviation
[1] 1.48195 1.22472 1.18095 0.87191 0.33848 0.18560

> prop # proportion of variance
[1] 0.36603 0.24999 0.23244 0.12670 0.01910 0.00574

> cumsum(prop) # cumulative proportion
[1] 0.36603 0.61602 0.84846 0.97516 0.99426 1.00000
```





## Datos de contaminación del aire

```
> summary(pc, loadings = TRUE)
```

```
Importance of components:
```

	Comp.1	Comp.2	Comp.3
Standard deviation	1.4819456	1.2247218	1.1809526
Proportion of Variance	0.3660271	0.2499906	0.2324415
Cumulative Proportion	0.3660271	0.6160177	0.8484592

	Comp.4	Comp.5	Comp.6
Standard deviation	0.8719099	0.3384829	0.1855998
Proportion of Variance	0.1267045	0.0190951	0.0057412
Cumulative Proportion	0.9751637	0.9942588	1.0000000

```
Loadings:
```

	Comp.1	Comp.2	Comp.3	Comp.4	Comp.5	Comp.6
Neg.Temp	-0.330	0.128	0.672	0.306	0.558	0.136
Manuf	-0.612	-0.168	-0.273	0.137	0.102	-0.703
Pop	-0.578	-0.222	-0.350			0.695
Wind	-0.354	0.131	0.297	-0.869	-0.113	
Precip		0.623	-0.505	-0.171	0.568	
Days	-0.238	0.708		0.311	-0.580	



Desde la descomposición espectral de  $R$ , tenemos que:

```
> rs$vectors
      [,1]  [,2]  [,3]  [,4]  [,5]  [,6]
[1,] -0.3296  0.128  0.6717  0.3065  0.5581  0.1362
[2,] -0.6115 -0.168 -0.2729  0.1368  0.1020 -0.7030
[3,] -0.5778 -0.222 -0.3504  0.0725 -0.0781  0.6946
[4,] -0.3538  0.131  0.2973 -0.8694 -0.1133 -0.0245
[5,]  0.0408  0.623 -0.5046 -0.1711  0.5682  0.0606
[6,] -0.2379  0.708  0.0931  0.3113 -0.5800 -0.0220

> apply(rs$vectors, 2, function(x) sum(x^2)) # sums of squares
      [1] 1 1 1 1 1 1
```

### Interpretación:

- ▶ 1ª Comp: “calidad de vida” con valores altos para variables Pop y Manuf.
- ▶ 2ª Comp: “clima húmedo” destacando las variables Precip y Days.
- ▶ 3ª Comp: “tipo de clima” provee un contraste entre Precip y Neg.Temp.



Elección del número de componentes:

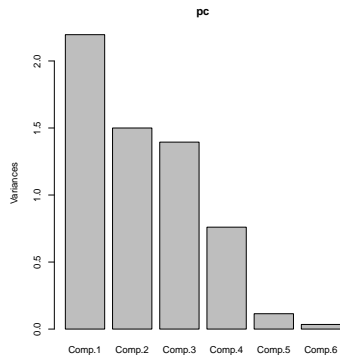
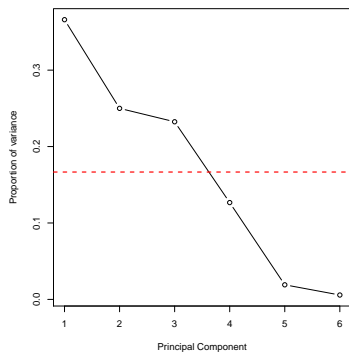
- ▶ Se ha sugerido realizar el gráfico de la [proporción de varianza acumulada](#).
- ▶ [Kaiser \(1958\)](#) propuso considerar aquellas componentes cuyos valores propios sean mayor que su promedio.

```
# 1er panel
> plot(prop, xlab = "Principal Component",
      + ylab = "Proportion of variance", type = "b")
> abline(h = mean(prop), col = "red", lwd = 2, lty = 2)

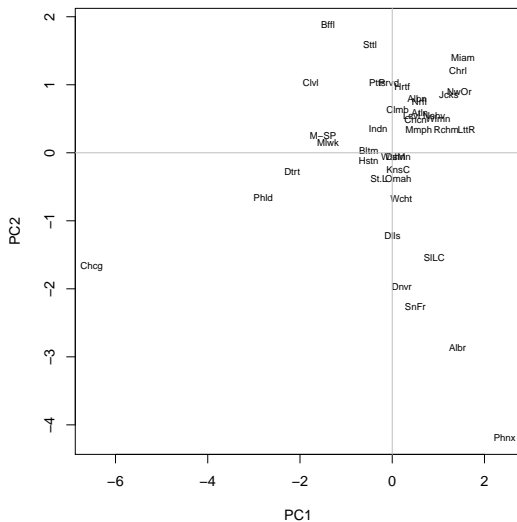
# 2do panel
> plot(pc)
```



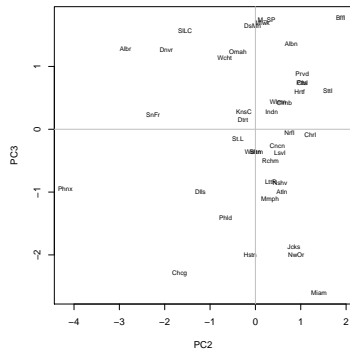
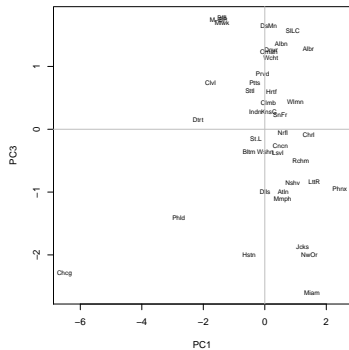
# Datos de contaminación del aire



# Datos de contaminación del aire



# Datos de contaminación del aire



Gráficos anteriores se realizaron mediante los comandos:

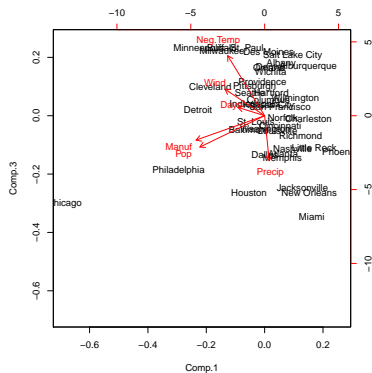
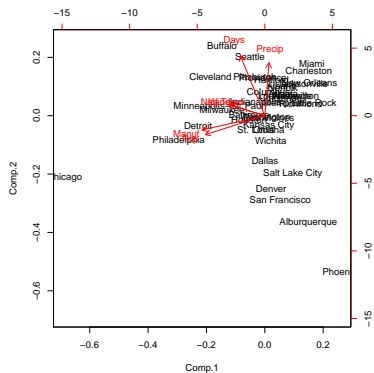
```
> par(pty = "s")
> plot(pc$scores[,1], pc$scores[,2], type = "n", xlab = "PC1",
      + ylab = "PC2")
> text(pc$scores[,1], pc$scores[,2], labels = abbreviate(row.names(db)),
      + cex = 0.7, lwd = 2)
> abline(h = 0, col = "gray")
> abline(v = 0, col = "gray")
```

Note que información equivalente puede ser obtenida con la función `biplot`:

```
> biplot(pc, choices = 1:2)
> biplot(pc, choices = c(1,3))
```



# Datos de contaminación del aire





Note que las componentes principales pueden ser calculadas como:

$$Y = (X - \mathbf{1}_n \bar{x}^\top)T,$$

donde  $T$  es matriz ortogonal (en nuestro ejemplo, obtenida desde la descomposición espectral  $R = T\Lambda T^\top$ ). En los siguientes comandos la matriz  $X$  es centrada y escalada

```
> z <- scale(db) # centrado y escalado de la matriz de datos
> scores <- z %*% rs$eigenvectors
> scores
```

Los **vectores propios** corresponden a los **loadings** obtenidas desde la función `princomp` (salvo un factor de escala y/o un signo).



- ▶ **prcomp**: utiliza SVD para realizar los cálculos (es un poco más eficiente que su rutina hermana `princomp`).
- ▶ **princomp**: basado en la descomposición espectral (**eigen**), puede no ser recomendable para problema de gran dimensión.
- ▶ **PCA**: desde el paquete **FactoMineR**, posiblemente la mejor herramienta disponible en R para PCA.
- ▶ **ppca**: desde el paquete **pcaMethods**,<sup>1</sup> para **Bioconductor**<sup>2</sup> ofrece una multitud de procedimientos para PCA, entre ellos **probabilistic PCA**.

---

<sup>1</sup>URL: <https://bioconductor.org/packages/pcaMethods/>

<sup>2</sup>Paquetes de **Bioconductor** pueden ser instalados sin mucha dificultad en R.

